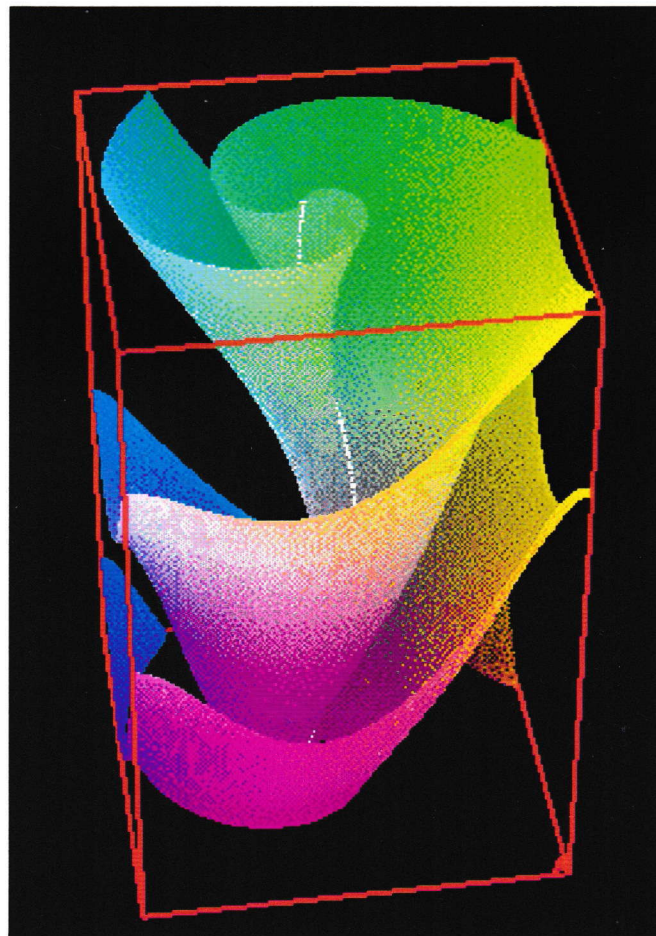


Sélection des ondes spirales twistées des milieux excitables tridimensionnels.

D. Margerit et D. Barkley
University of Warwick

<http://www.maths.warwick.ac.uk/~dmargeri>

<http://www.maths.warwick.ac.uk/~barkley>



Filament twisté

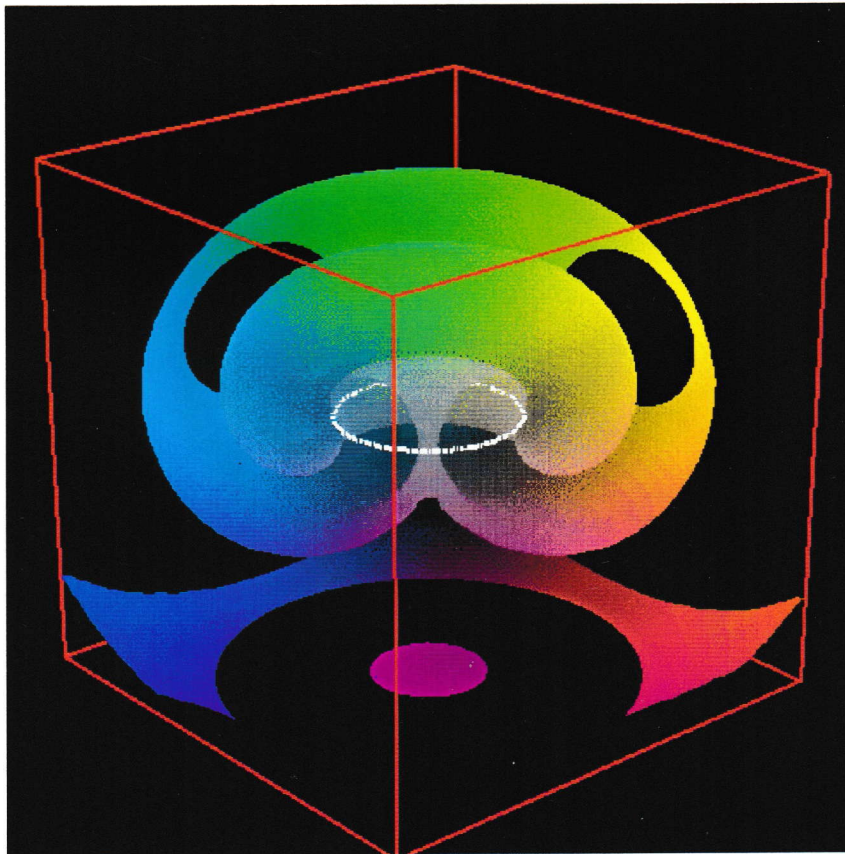
1 Milieux Excitables

$$\begin{aligned}\epsilon^2 \partial u / \partial t &= \epsilon^2 \nabla^2 u + f(u, v) \\ \partial v / \partial t &= \epsilon g(u, v)\end{aligned}$$

avec $\epsilon \ll 1$

f et g sont les termes réactifs :

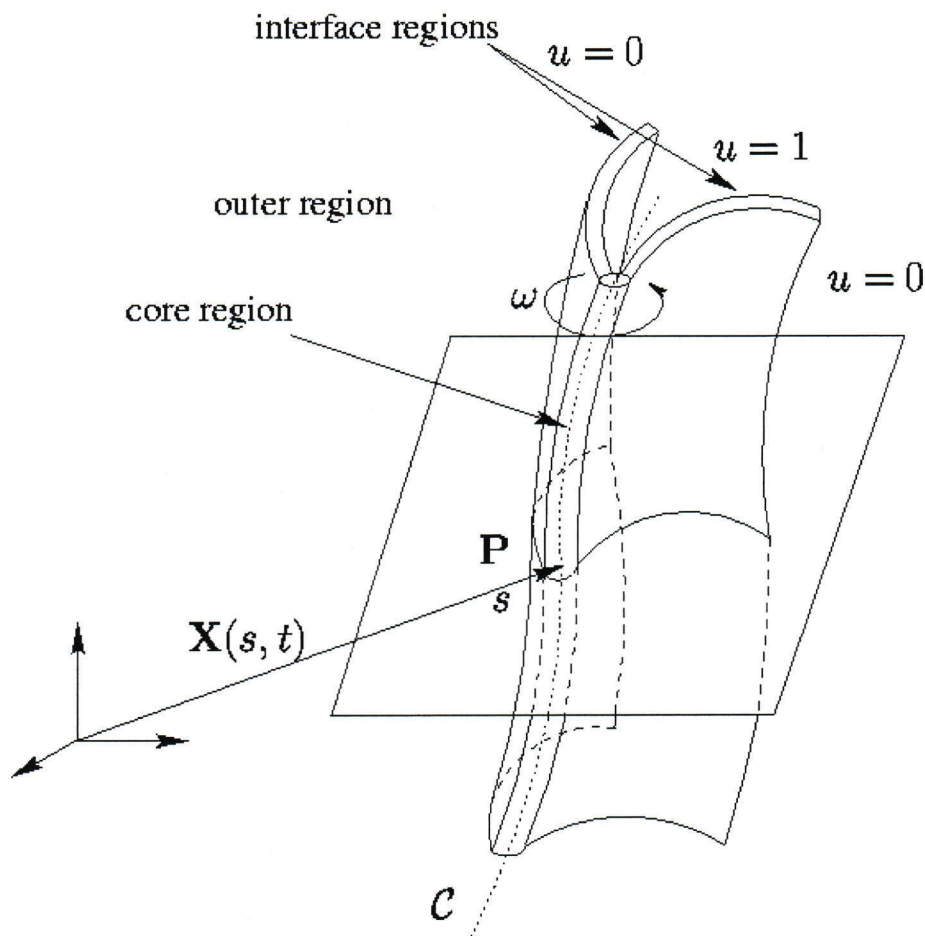
$$\begin{aligned}f(u, v) &= u(1 - u)(u - u_{th}) \\ g(u, v) &= u - v \\ u_{th} &= (v + b)/a\end{aligned}$$



Anneau tourbillon

2 Résolution asymptotique

- Région extérieure
- Région des interfaces : couche limite surfacique
- Région du filament : couche limite linéique



Régions asymptotiques

- Coordonnées polaires (r, φ)
- Nappe twistée ($u = 1/2$) : $\varphi = \Phi^\pm(r, s, t)$
- Fréquence $\omega = \dot{\Phi}$

Quantités dérivées :

- Fonction $\Psi \equiv r\partial\Phi/\partial r$
- Twist τ : taux de rotation de l'interface

Méthode :

- Développement asymptotiques

$$\begin{aligned}\omega &= \omega^{(0)} + \epsilon\omega^{(1)} + \dots \\ \Psi(r) &= \Psi^{(0)}(r) + \tilde{\epsilon}\Psi^{(1)}(r) + \dots\end{aligned}$$

- Coordonnées pour l'interface, dilatation
- Méthode DAR : ordres 0 et 1

Résultats :

- Équations pour $\Psi^{(0)}$ et $\Psi^{(1)}$
- Fréquence : $\omega = \mu/B^{(0)2/3} + \epsilon D/a + \dots$

Équation de l'interface :

$$q \frac{\partial \Psi}{\partial r} + \frac{\Psi(1 + \Psi^2)}{r} = r(q + \Psi^2) - \Lambda(q + \Psi^2)^{3/2} + O(\epsilon^2),$$

où

$$\begin{aligned}\Lambda &= B - \tilde{\epsilon}(5/3)\sqrt{q + \Psi^2}/r, \\ q &= 1 + \tau^2 r^2, \\ \tilde{\epsilon} &= \epsilon/(a\omega),\end{aligned}$$

et

$$\begin{aligned}B &= (\mu/\omega)^{3/2}, \\ \mu^{3/2} &= \sqrt{2}\pi v^s(1 - v^s)/a, \\ v^s &= a/2 - b.\end{aligned}$$

Angle entre les interfaces :

$$\underline{\Delta\Phi} = \Phi^- - \Phi^+ = \underline{2\pi(1 - v^s) + O(\epsilon^2)}.$$

Ordre principal :

$$q \frac{\partial \Psi^{(0)}}{\partial r} + \frac{\Psi^{(0)}(1 + \Psi^{(0)2})}{r} = r(q + \Psi^{(0)2}) - B^{(0)}(q + \Psi^{(0)2})^{3/2}$$

Ordre 1 :

$$q \frac{\partial \Psi^{(1)}}{\partial r} + l(r) \Psi^{(1)} = m(r),$$

où

$$l(r) = \frac{1}{r} + r \Psi^{(0)}$$

$$+ 3 \Psi^{(0)} \left[\frac{\Psi^{(0)}}{r} - r + B^{(0)} \sqrt{q + \Psi^{(0)2}} \right],$$

$$m(r) = D m_1(r) + m_2(r)$$

$$m_1(r) = r(q + \Psi^{(0)2}) + B^{(0)}(q + \Psi^{(0)2})^{3/2},$$

$$m_2(r) = \frac{5(q + \Psi^{(0)2})^2}{3r}.$$

Solution Générale :

$$\Psi^{(1)}(r) = \Psi_h^{(1)}(r) \left(A + \int_0^r \frac{m(r^*)}{\Psi_h^{(1)}(r^*)} dr^* \right),$$

où A est une constante et

$$\Psi_h^{(1)} = \frac{(q + \Psi^{(0)2})^{3/2}}{qr} \exp \left(- \int_0^r \frac{\rho \Psi^{(0)}}{1 + \tau^2 \rho^2} d\rho \right).$$

Le comportement en l'infini implique :

$$D = -\frac{c_2}{c_1} \quad \text{où} \quad c_i = \int_0^\infty \frac{m_i(r^*)}{\Psi_h^{(1)}(r^*)} dr^*.$$

3 Résolution numérique

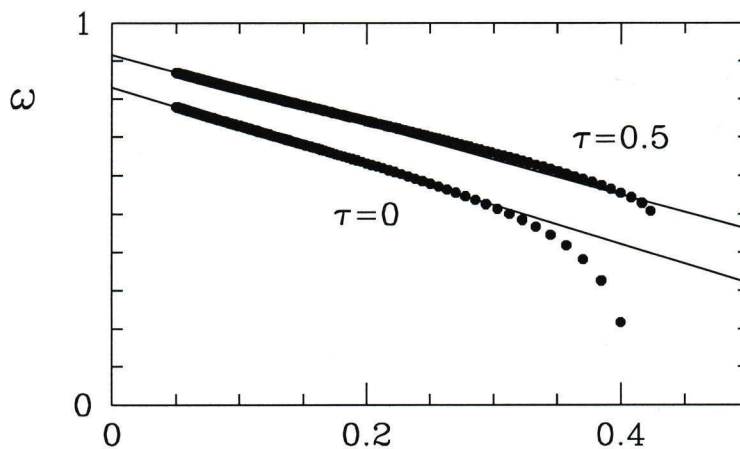
Problème stationnaire :

$$\begin{aligned} -\omega \epsilon^2 \partial u / \partial \varphi &= \epsilon^2 \Delta u + f(u, v), \\ -\omega \partial v / \partial \varphi &= \epsilon g(u, v), \end{aligned}$$

$$\begin{aligned} \text{où } \Delta u &= \partial^2 u / \partial r^2 + (1/r) \partial u / \partial r + (q/r^2) \partial^2 u / \partial \varphi^2, \\ q &= 1 + \tau^2 r^2. \end{aligned}$$

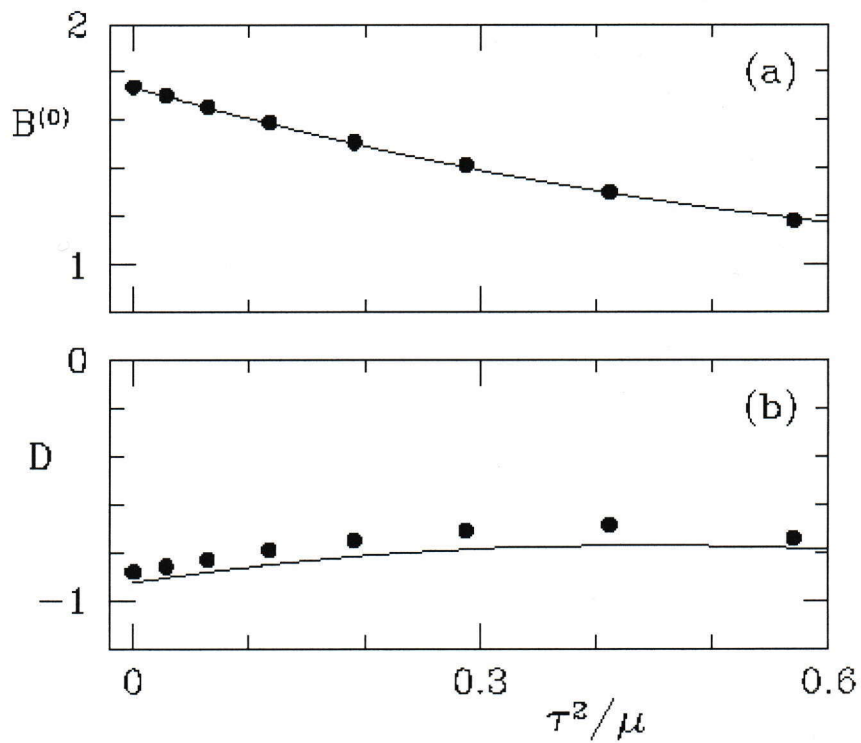
Méthode numérique :

- Méthode spectrale en φ
- Différences finies du 2^{ieme} ordre en r
- Méthode de Newton pour ω

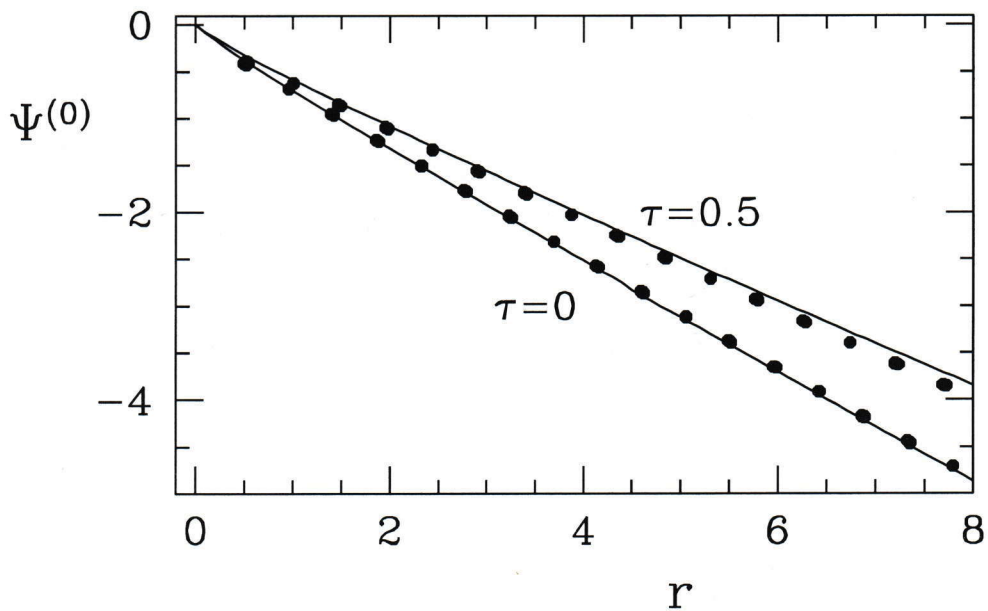


Évolution de la fréquence ω avec ϵ
 $a=0.8, b=0.1$

4 Confrontation quantitative



Sélection de la fréquence : —Asymptotique, ● numérique

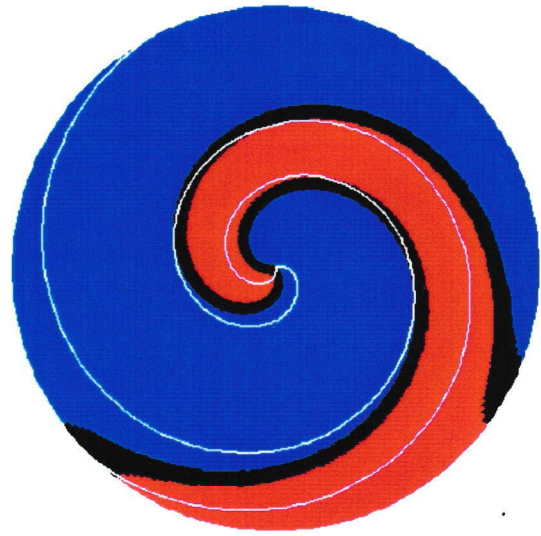


Comparaison de l'ordre 0 : —Asymptotique, ● numérique

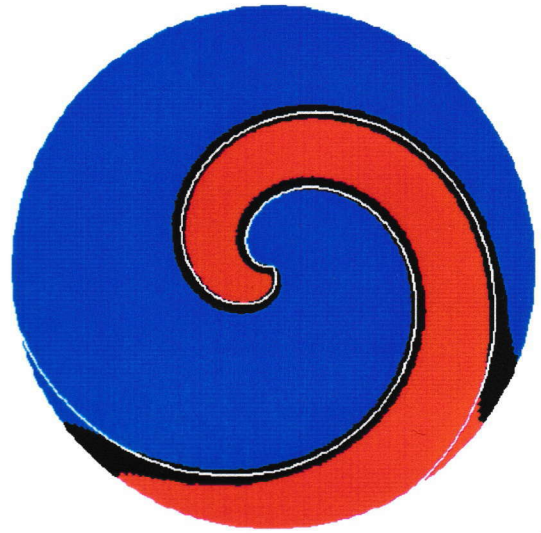
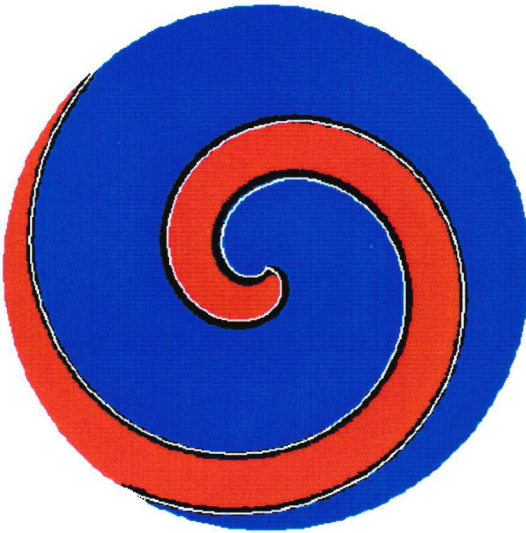
twist=0

twist=0.5

L
e
a
d
e
r
i
n
g



O
r
d
e
r
s



Sélection de la forme de spirale: $\varepsilon=0.1$
 $a=0.8, b=0.1$

References

- [1] D. Barkley. A model for fast computer simulation of waves in excitable media. *Physica D*, 49:61–70, 1991.
- [2] A. Karma. Scaling regime of spiral wave propagation in single-diffusive media. *Physical Review Letters*, 68(3):397–400, 1992.
- [3] A.J. Bernoff. Spiral wave solutions for reaction-diffusion equations in a fast reaction/slow diffusion limit. *Physica D*, 53:125–150, 1991.